

Direct Method에 의한 鐵筋콘크리트 二方向 슬라브의 最適設計에 관한 研究

A Study on the Optimal Design Method of Reinforced Concrete Two Way Slabs

金 勇 照* · 柳 泓 烈** · 朴 文 浩***
Kim, Yong Hee · Lyu, Hong Leal · Park, Moon Ho

Summary

We have, at present, found some studies on the optimum design of reinforced concrete about the simple slab but very few about the multi-story and multi-span slab.

The aim of this study is to make a optimum design of coalesced beam and column slab constructre. Some results of the evalution by using the optimalized algorithm that was developed in this study are as follows.

① Slab was mainly restricted by the constraint of effective depth, bending moment, and minimum steel ratio; especially the effective depth was the preceding critical constraint. In the optimum design of slab, therefore, the constraint about the minimum thickness should be surely considered.

② This optimum design is good economy as much as some 3.4%~6.2% compared with the conventional design method.

③ In most case, it was converged by 3 to 6 iteration regardless of the highest or lowest value and only in case of N=1 and case 1, there is a little oscillation after the 3rd iteration but it makes no difference in taking either the highest or lowest value because the range of oscillation is low as much as about 1.2% of the total construction cost.

④ In this study the result seeking for constraints that make no difference in the least cost design shows that shear stress and maximum steel ratio may not be considered in it.

⑤ Bending moment was converged by one time iteration regardless of the initial value, while steel ratio, in most case, by two times because both bending moment and steel ratio are the function of effective depth.

* 廉南大學校 工科大學

** 廉南工業專門大學

*** 廉北大學校 工科大學

I. 序論

經濟的 設計를 위한 構造物의 最適化問題는 設計過程에서의 복잡성과 解析過程에서의 많은 時間所要로 因해 工學者들간에 不可能하다고 생각되었으나 1950年代 중반 이후 Computer의 大型화와 高速化, 시스템工學(System Engineering)의 발전과 併行하여 現代構造理論 특히 Matrix 構造解分析法, 有限要素法, OR등의 발전으로 可能하게 되었다.^{13~15)}

1960年代까지의 最適設計는 대부분이 鋼構造物이 고 鐵筋콘크리트 最適化에 관한 文獻은 70年代에 들어와서 발표되었다.^{4~10)} 그主된 이유는 鐵筋콘크리트 構造物의 最適化는 鋼構造物에 比해 設計變數가 많고 設計條件이 더욱 복잡하고 多樣하기 때문이다. 鐵筋콘크리트 構造物의 단면 칫수를 결정할 때에는 設計者에 따라 단면 칫수의 구성이 달라지고 또한 在來의 方法으로는 경제적인 설계가 容易치 않기 때문에 鐵筋콘크리트 構造物의 最適化에 대한 研究가 더욱 需要되고 있다.

1970年代까지의 最適化에 관한 研究動向은 文獻(4)에 상세히 언급되어 있으므로 여기서 반복하여 언급하지 않겠지만 國內에서 발표된 대표적인 것으로는 文獻(11), (12), (13), (14), (15)에서 찾아 볼 수 있다.

문현조사결과 슬라브에 대한 最適設計는 單純슬라브에 대한 것뿐이고 構造體로서의 設計에 대한 研究는 없었다. 따라서 本 研究에서는 슬라브, 보, 기둥이 一體화된 總體의인 슬라브型 構造體를 대상으로 한 多層, 多徑間 슬라브의 最適化를 Direct Method에 의하여 시도하였다.

最適化 解析技法으로는 多設計變數, 多制約條件
을 갖는 非線型 最適化問題 解決에 効果의in 逐次
線型計劃技法(Successive Linear Programming)을
이용하여^{18), 19)} 最適化 알고리즘을 開發하여 最適化
可能牲, 實用牲, 收歛牲 및 經濟牲 등을 檢討하였다.
그리므로 本研究는 總體의in 슬라브型 構造體
의 最適設計를 위한 先行的研究라 할 수 있다.

II. 最適化 問題形成

設計變數로는 二方向 슬라브의 長邊 支持 方向 과 短邊 支持 方向 的 正, 負 모멘트에 따른 柱列 帶(column strip)과 中間 帶(middle strip)의 主筋筋, 슬라브의

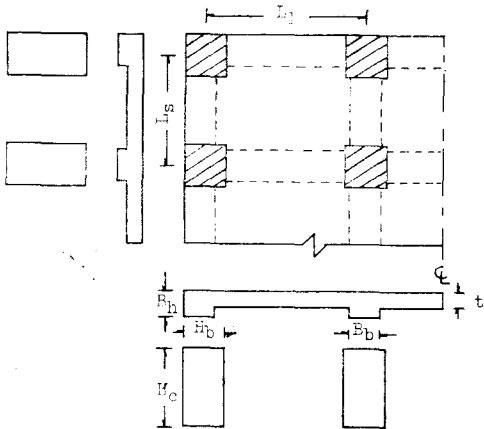


Fig. 1. Two-Way Slabs System

有効깊이를 쥐했고 制約條件으로는 슬라브의 引應力, 剪斷應力, 鐵筋比, 두께 및 콘크리트 표준示方書와 ACI 318-77示方書의 기타 制約事項을 고려하였다.

鐵筋콘크리트 슬라브의 長邊이 短邊의 2倍 이하인
直사각형 슬라브를 極限強設計에서는 二方向 슬라
브로 規定하며 Direct Method로 設計되는 슬라브
는 各方向으로 3個 이상의 連續支間을 가져야 하는
데 Fig.1에서와 같이 슬라브의 長邊支持方向(L_1 方
向)과 短邊支持方向(L_2 方向)으로 區分하였다.

長邊 및 短邊의 連續條件에 4따른 構造形狀은

N=1:4번 연속

$N=2$: 3번 연속, 1단번 불연속

$N=3$: 3번 연속, 1장면 복연속

$N=4$: 0) 절한 2번 연속, 2번 불연속

와 같이 4종류가 존재한다.

1. 目的函数

鐵筋콘크리트 二方向 슬라브의 最適化量 위한 目的函數를 설정함에 있어서 콘크리트는 鋼材와는 달리 重量이나 體積을 最適화하는 것은 特別한 目的 을 除外하고는 큰뜻이 있으므로 任意의 徑間의 全建設經費를 推定하여 設計變數의 函數로 表示되는 經費函數를 目的函數로 취하여 最小經費 設計를 行한다. 最小經費 設計를 위한 目的函數는 다음과 같이 表示할 수 있다.

式 (2-1)에서

$$\gamma_1 = \gamma_2 = \gamma_4 = \gamma_6 = 0.65\eta_K\theta_K \quad \dots \quad (2-9)$$

$$\gamma_3 = \gamma_5 = 0.35\eta_K\theta_K \quad \dots \quad (2-10)$$

$$\gamma_7 = \gamma_8 = 0.65(1-\eta_K) \quad \dots \quad (2-11)$$

$$\gamma_9 = 0.35(1-\eta_K) \quad \dots \quad (2-12)$$

$$\gamma_{10} = \gamma_{12} = \left\{ 0.75 - \frac{0.1}{1 + \frac{1}{(\alpha_{ec})_L}} \right\} \eta_L \theta_L \quad (2-13)$$

$$\gamma_{11} = \gamma_{14} = \left\{ \frac{0.65}{1 + \frac{1}{(\alpha_{ec})_L}} \right\} \eta_L \theta_L \quad \dots \quad (2-14)$$

$$\gamma_{12} = \gamma_{15} = \left\{ 0.63 - \frac{0.28}{1 + \frac{1}{(\alpha_{ec})_L}} \right\} \eta_L \theta_L \quad \dots \quad (2-15)$$

$$\gamma_{16} = \left\{ 0.75 - \frac{0.1}{1 + \frac{1}{(\alpha_{ec})_L}} \right\} (1 - \eta_L) \quad \dots \quad (2-16)$$

$$\gamma_{17} = \left\{ \frac{0.65}{1 + \frac{1}{(\alpha_{ec})_L}} \right\} (1 - \eta_L) \quad \dots \quad (2-17)$$

$$\gamma_{18} = \left\{ 0.63 - \frac{0.28}{1 + \frac{1}{(\alpha_{ec})_L}} \right\} (1 - \eta_L) \quad \dots \quad (2-18)$$

여기서

$$\eta_K = 0.01 \left\{ 75 + 30 \frac{\alpha_K L_t}{L_s} \left(1 - \frac{L_t}{L_s} \right) \right\} \quad \dots \quad (2-19)$$

$$\eta_L = 0.01 \left\{ 75 + 30 \frac{\alpha_L L_s}{L_t} \left(1 - \frac{L_t}{L_s} \right) \right\} \quad \dots \quad (2-20)$$

$$\eta_{Lt} = 0.01 \left[100 - 10\beta_t + 12\beta_t \left(\frac{\alpha_L L_s}{L_t} \right) \left(1 - \frac{L_t}{L_s} \right) \right] \quad \dots \quad (2-21)$$

θ_K, θ_L : 슬라브로 分配되는 모멘트係數

α_K, α_L : 슬라브와 보의 휨剛性의 比

$(\alpha_{ec})_L$: 보와 슬라브의 휨剛性의 合에 대한
等價기 등의 휨剛性의 比

β_t : 받침부 중심간의 보지간 길이와 같은 슬
라브幅의 휨剛性에 대한 외측 보단면의
비틀림剛性의 比

다른 支持條件에 대해서도 위와 같은 方法으로
구한다.

나. 剪斷應力 制約條件式

일반적으로 슬라브에서는剪斷應力에 대해서는 安全하지만 主制約事項이 되는지의 如否를 판단하기 위해 고려했는데 整式化하면 다음과 같다.

$$(G_B)_N = (\tau_c)_N - (\tau_u)_N \geq 0 \quad \dots \quad (2-22)$$

$(\tau_c)_N$: 공칭 허용전단응력

$(\tau_u)_N$: 극한전단응력

다. 두께에 대한 制約條件式

$$(G_c)_N = d_N + d' - 9 \geq 0 \quad \dots \quad (2-23)$$

$$(G_D)_N = d_N + d' - (t_1)_N \geq 0 \quad \dots \quad (2-24)$$

$$(G_E)_N = d_N + d' - (t_2)_N \geq 0 \quad \dots \quad (2-25)$$

$$(G_F)_N = (t_3)_N - (d_N + d') \geq 0 \quad \dots \quad (2-26)$$

式 (2-24), (2-25), (2-26)에서

d' : 인장축 표면에서 인장철근의 도심까지의
거리

t_1, t_2, t_3 : 철근콘크리트 시방서 107조

(14-10)式, (14-11)式, (14-12)式

라. 鐵筋比 制約條件式

$$(G_G)_{N,i} = (A_s)_{N,i} - p_{m1}b(d_N + d') \geq 0 \quad \dots \quad (2-27)$$

$$(G_H)_{N,i} = p_{m2}b(d_N + d') - (A_s)_{N,i} \quad \dots \quad (2-28)$$

여기서

p_{m1}, p_{m2} : 二方向슬라브의 최소 및 최대철근비

3. 最適化問題의 形成

앞에서 유도한 目的函數와 制約條件式들을 要約하여 鐵筋콘크리트 二方向슬라브의 最適化問題를 形成하면 다음과 같다.

$$\begin{aligned} & \text{Minimize } C \\ & \text{Subject to} \\ & \left. \begin{array}{l} (G_A)_{N,i} \\ (G_B)_{N,i} \\ \vdots \\ (G_H)_{N,i} \end{array} \right\} \geq 0 \end{aligned} \quad \dots \quad (2-29)$$

式 (2-29)의 目的函數와 制約條件式들이 設計變數 $\vec{X} = \{d_N, (A_s)_{N,i}\}$ 에 대하여 非線型計劃問題가 되므로 이를 逐次線型計劃問題로 變換시켜 最適화를 시도하고자 한다.

II. 鐵筋콘크리트 二方向슬라브의 最適化

1. 逐次的 線型化

非線型의 多制約, 多設計變數를 갖는 鐵筋콘크리트 構造物의 最適化에 보편적으로 사용되는 技法으로는 Feasible Direction Method, Lagrange Multiplier Method, 無制約最小化反復法(SUMT), 等價의問題로 變換시켜 解를 求하는 逐次線型計劃法(SLP)이 있으나 文獻調査結果 SLP法이 効率의이라는 사실을 알았으므로 本研究에서는 이 方法을 사용했다. SLP法에 대해서는 文獻 (13)와 (16)에 자

Direct Method에 의한 鐵筋콘크리트 二方向 슬라브의 最適設計에 관한 研究

세히 기술하여 놓았으므로 本研究에서는 간단히 要約한다.

$$\left. \begin{array}{l} \text{Minimize } C(\vec{X}) \\ \text{Subject to } G(\vec{X}) \geq 0 \\ \vec{X} \geq 0 \end{array} \right\} \quad \dots \dots \dots \quad (3-1)$$

여기서

$C(\vec{X})$: 目的函數

$G(\vec{X})$: 制約條件式

\vec{X} : 設計變數

각 設計點에서 非線型의 目的函數 및 制約條件式 을 Taylor級數展開에 의하여 線型化하고 이 變形된 線型問題에 線型計劃 알고리즘을 적용하므로서 近似解를 구한 후 그 近似解를 이용하여 初期設計點 을 修正한다. 이런 過程을 滿足할 만한 值이 구하 여질 때까지 되풀이함으로서 最適解를 얻게 된다.

Taylor級數展開의 一次項까지만 취하여 $K+1$ 번 째의 解를 위하여 $C(\vec{X})$ 와 $G(\vec{X})$ 를 어떤 解계점 \vec{X}^K 주위에서 式 (3-1)을 变형시킨 線型計劃의 一般式을 行列로 표시하면 다음과 같다.

$$\text{Minimize : } C(\vec{X}) = C(\vec{X}^K) + \nabla C(\vec{X}^K)(\vec{X} - \vec{X}^K) \quad \dots \dots \dots \quad (3-2)$$

$$\text{Subject to : } J(\vec{X}^K)\vec{X} \geq J(\vec{X}^K)\vec{X}^K - G(\vec{X}^K) \dots \quad (3-3)$$

2. 目的函數의 線型化

多制約, 多設計變數를 갖는 鐵筋콘크리트 二方向 슬라브의 目的函數는 設計變數에 대하여 非線型이므로 이를 Taylor級數展開理論에 따라 設計點 \vec{X}^K 주위에서 線型화하면 다음과 같다.

$$C(\vec{X}) = \left[\frac{\partial C(\vec{X})}{\partial \vec{X}} \right]_{\vec{X}^K} \cdot [\vec{X}]_{\delta x_1} - C(\vec{X}^K) \quad \dots \dots \dots \quad (3-4)$$

여기서 行 또는 列의 要素의 數를 나타내는 첨자 δ 는 設計變數의 總數를 나타내며 $\vec{X} = 19$ 이다. 이후에 기술되는 δ 도 마찬가지 의미를 갖는다.

3. 制約條件式의 線型化

Direct Method로 유도된 鐵筋콘크리트 二方向 슬라브의 制約條件式들을 設計點 \vec{X}^K 주위에서 線型화한 一般式을 行列로 표시하면 다음과 같다.

$$\begin{aligned} [J(\vec{X}^K)]_{m \times \delta} \cdot [\vec{X}]_{\delta x_1} &\geq [J(\vec{X}^K)]_{m \times \delta} \cdot [\vec{X}^K]_{\delta x_1} \\ -[G(\vec{X}^K)]_{m \times 1} &= [B(\vec{X}^K)]_{m \times 1} \end{aligned} \quad \dots \dots \dots \quad (3-5)$$

式 (3-5)에서 $[J(\vec{X}^K)]$ 는 \vec{X}^K 에 관한 制約條件式

$G(\vec{X})$ 의 Jacobian Matrix이며 行과 列의 數를 的 미하는 첨자 m 와 δ 는 각각 制約條件式의 數와 設計變數의 數를 나타낸다.

$$[J(\vec{X}^K)]_{m \times \delta} = \left[\left[\frac{\partial G(\vec{X}^K)}{\partial \vec{X}} \right] \right]_{m \times \delta} \quad \dots \dots \dots \quad (3-6)$$

式 (3-5)와 (3-6)에서

$$G(\vec{X}^K) = \text{set to } \{(G_A)_{N,i}, (G_B)_N, \dots, (G_H)_{N,i}\} \quad \dots \dots \dots \quad (3-7)$$

이며 式 (3-7)에서 $(G_A)_{N,i}, (G_B)_N, \dots, (G_H)_{N,i}$ 는 앞장에서와 같은 設計變數 \vec{X}^K 의 函数로 표시되어 있는 制約條件式들이다.

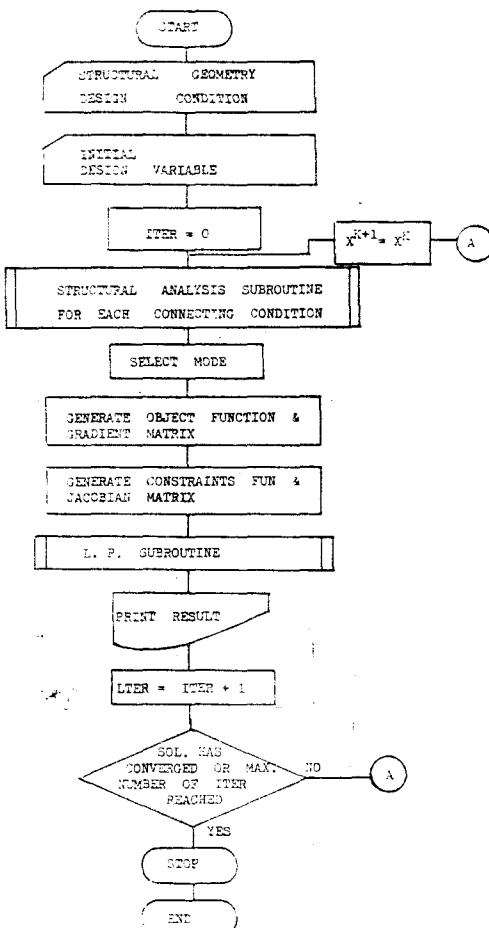


Fig. 3. Flow chart

IV. 計算例 및 考察

Direct Method에 의한 鐵筋콘크리트 二方向 슬라브

Table-1. Design Condition

Structural Geometry		Design Strength (kg/cm ²)	General Design Condition	Design Loading
N Constraint Condition	Q Size (cm)			
1		$\sigma_{ck} = 210$ case 1 $\sigma_y = 2800$ $\tau_u = 7.68$	$C_c = 0.0358 \text{ won/cm}^3$ $C_s = 2.2256 \text{ won/cm}^3$ $C_f = 0.5248 \text{ won/cm}^3$	$W_I = 0.07 \text{ kg/cm}^2$ $W_d = 0.0024 \times t \text{ kg/cm}^2$
	$L_t = 750 \quad B_b = 35$ 1 $L_s = 600 \quad B_h = 50$ $H_c = 350 \quad H_B = 40$			
	$L_t = 700 \quad B_b = 50$ 2 $L_s = 500 \quad B_h = 45$ $H_c = 350 \quad H_B = 35$	$\sigma_{ck} = 240$ case 2 $\sigma_y = 3500$ $\tau_u = 8.21$	$C_c = 0.037 \text{ won/cm}^3$ $C_s = 2.3434 \text{ won/cm}^3$ $C_f = 0.5248 \text{ won/cm}^3$	
3				$\phi = 0.9 \quad d' = 3 \text{ cm}$ $\phi_1 = 0.85$ $d_m = d_c = 1.3 \text{ cm}$
	$L_t = 650 \quad B_b = 28$ 3 $L_s = 550 \quad B_h = 40$ $H_c = 350 \quad H_B = 35$			
4				

의 最適化可能性과 실제 活用性을 검토하기 위하여 3章에서 開發한 最適化 알고리즘을 이용하여 最適解를 구했다. 綜合的인 flow chart는 Fig.3과 같다.

本研究에서는 設計條件을 Table-1에서와 같이 해서 4個의 連續條件 모두에 대해 각각 最適解를 구하고 다시 長邊, 短邊의 길이를 다르게 해서 구하고

(Q값) 또한 σ_{ck} 와 σ_y 를 달리 해 case別로 하는 등 많은 수치의 最適화를 試行하였으나 紙面의 제약으로 代表적인 것만을 수록하면 Table-2~3, Fig.4~7과 같다.

Table-1의 C_c , C_s , C_f 는 1984年 1月 調達廳發行 「物價情報」에서 인용했는데 C_c 는 배비률에 의한 값이고 C_s 는 鐵筋欲과 鐵筋加工組立을 합한 수치이고

Table-2. Optimum Values (Q=1 경우)

N	case	d(cm)	A _{S1}	A _{S2}	A _{S3}	A _{S4}	A _{S5}	A _{S6}	A _{S7}	A _{S8}	A _{S9}	A _{S10}
1	1	12.65	5.63	5.63	5.18	5.63	5.63	5.18	37.48	37.01	19.46	9.86
	2	12.42	5.11	5.11	5.11	5.11	5.11	5.11	30.79	30.79	17.35	8.24
2	1	12.12	5.99	5.99	5.01	6.28	6.28	5.01	39.6	39.6	20.72	11.51
	2	12.88	5.26	5.26	5.26	5.26	5.26	5.26	29.87	29.87	17.86	8.61
3	1	12.24	6.48	5.05	5.05	6.48	5.05	5.05	42.92	17.14	30.3	10.54
	2	13.0	5.30	5.30	5.30	5.30	5.30	5.30	32.39	18.0	23.05	7.89
4	1	12.71	6.29	5.20	5.20	6.59	5.20	5.20	41.57	17.67	29.45	10.98
	2	13.49	5.46	5.46	5.46	5.46	5.46	5.46	31.43	18.55	22.45	8.24
N	case	A _{S11}	A _{S12}	A _{S13}	A _{S14}	A _{S15}	A _{S16}	A _{S17}	A _{S18}	COST	수량 회수	
1	1	9.86	5.18	9.86	9.86	5.18	29.0	29.0	16.01	585853	8	
	2	8.24	5.11	8.24	8.24	5.11	26.32	26.32	13.7	580495	4	
2	1	5.82	7.88	11.51	5.82	7.88	37.01	11.34	25.09	601623	4	
	2	5.26	5.94	8.61	5.26	5.94	27.52	11.91	11.85	594369	4	
3	1	10.54	5.51	11.19	11.19	5.85	33.81	33.81	17.45	601047	3	
	2	7.89	5.30	8.37	8.37	5.30	25.13	25.13	13.13	595432	5	
4	1	5.57	7.55	11.67	5.90	8.01	35.23	11.78	24.02	614950	5	
	2	5.46	5.72	8.75	5.46	6.06	26.26	12.37	18.1	609014	4	

Table-3. Design Bending Moment in optimum value ($Q=1$ 경우)

N	case	BM ₁	BM ₂	BM ₃	BM ₄	BM ₅	BM ₆	BM ₇	BM ₈	BM ₉
1	1	179,563	179,563	96,688	179,563	179,563	96,688	1,152,753	1,152,753	620,713
	2	178,746	178,746	96,248	178,746	178,746	96,248	1,147,508	1,147,508	617,889
2	1	177,699	177,699	95,684	185,992	185,992	100,149	1,140,786	1,140,786	614,269
	2	180,373	180,373	97,124	188,790	188,790	101,656	1,157,951	1,157,951	623,512
3	1	193,583	100,281	139,252	193,583	100,281	139,252	1,242,761	193,066	893,964
	2	196,756	101,607	142,044	196,756	101,607	142,044	1,263,131	167,083	911,888
4	1	195,547	101,168	140,975	204,673	105,889	147,554	1,255,370	176,415	905,028
	2	198,832	102,189	143,892	208,111	106,958	150,607	1,276,457	152,489	923,752
N	case	BM ₁₀	BM ₁₁	BM ₁₂	BM ₁₃	BM ₁₄	BM ₁₅	BM ₁₆	BM ₁₇	BM ₁₈
1	1	276,060	276,060	148,648	276,060	276,060	148,648	863,400	863,400	464,907
	2	274,804	274,804	147,971	274,804	274,804	147,971	859,471	859,471	462,792
2	1	294,068	153,778	205,552	294,068	153,778	205,552	919,721	213,221	642,879
	2	298,810	155,867	209,531	298,810	155,867	209,531	934,551	185,540	655,325
3	1	273,812	273,812	147,437	289,784	289,784	156,038	856,368	856,368	461,121
	2	277,954	277,954	149,667	294,168	294,168	158,398	869,321	869,321	468,096
4	1	297,739	155,450	208,627	315,107	164,518	220,797	931,201	191,353	652,498
	2	302,689	157,137	212,831	320,346	166,303	225,247	946,683	166,341	665,649

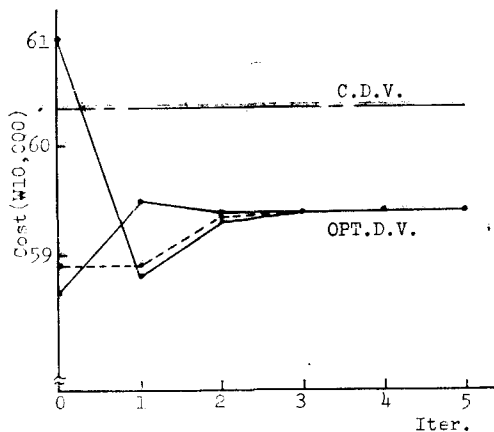


Fig. 4. Optimum tendency regarding to initial value ($N=2$, $Q=1$, Case 2)

C_f 는 3회 사용을 적용한 수치이다.

① 經濟的 設計를 위한 鐵筋콘크리트 二方向슬라브의 最適化에는 슬라브의 有効률이 (또는 슬라브의 두께)에 관한 制約條件를 따 휴보멘트, 最小鐵筋比 등이 主制約條件를 나타나는데 그중 슬라브의 有効률이에 관한 制約條件는先行的 臨界制約條件임

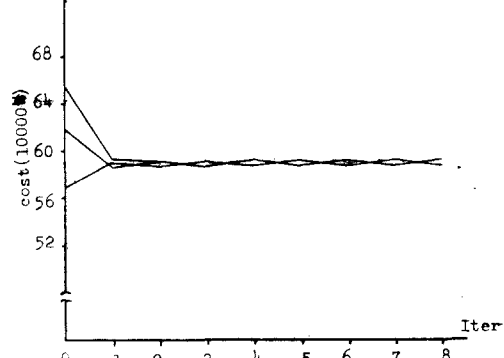


Fig. 5. Optimum tendency regarding to oscillation ($N=1$, $Q=1$, case1)

을 보여 주었다.

그리므로 鐵筋콘크리트 二方向슬라브의 最適設計에는 最小두께에 관한 制約條件를 반로시 고려해야 한다고 생각된다.

② 통일한 條件下에서 最適設計理論에 의하여 얻어진 슬라브의 有効률이 d 를 이용하여 在來의 設

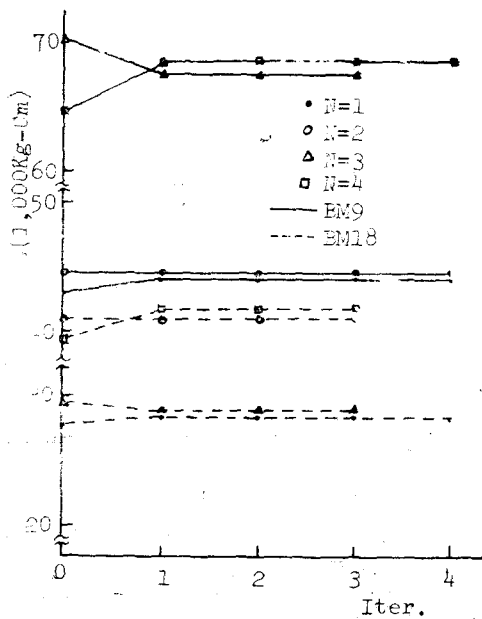


Fig. 6. Relationship between Moment and Iteration ($Q=2$, Case 2)

計法으로 나머지 變數를 設計한 結果와 本研究의 最適化 알고리즘을 사용하여 설계한 結果와는 약 3.4 ~ 6.2%의 經濟性이 입증되었다.

③ case 1과 case 2로 나누어 最適設計를 해 본 결과 case 2 즉 $\sigma_{ck}=240\text{kg/cm}^2$, $\sigma_y=3500\text{kg/cm}^2$ 일 때가 약간 더 綏便의지만 그 차이는 아주 적은 편이었다.

④ 本研究의 最適화 알고리즘은 上限, 下限, 初期值의 값에 관계없이 대개의 경우 Fig. 4에서와 같이 3~5回의 反復試行으로 最適解에 收斂했다. 다만 $N=1$, case 1인 경우에는 Fig. 5에서와 같이 3回 이후부터 약간의 Oscillation 현상을 일으켰으나 그 진폭이 全建設經費의 약 1.2% 정도이며 上限下限值가 모두 最適值에 아주 接近한 feasible解이므로 3回 이후의 上限, 下限值 중 어느 것을 解로 취하여도 별 문제가 되지 않는다고 생각된다. 文獻(10)에서는 입체鋼混대 構造物에 線型最適化 알고리즘을 적용하여 8~10회의 反復試行으로 最適解를 얻었고 文獻(17)에서는 極限強度設計法에 의한 鐵筋콘크리트 뼈대構造의 最適化에 Gradient projection 最適化 알고리즘을 적용하여 40回의 反復試行으로 最適解를 얻었다. 그러므로 本研究의 最適화 알고리즘이 아주 效率的임을 알 수 있다.

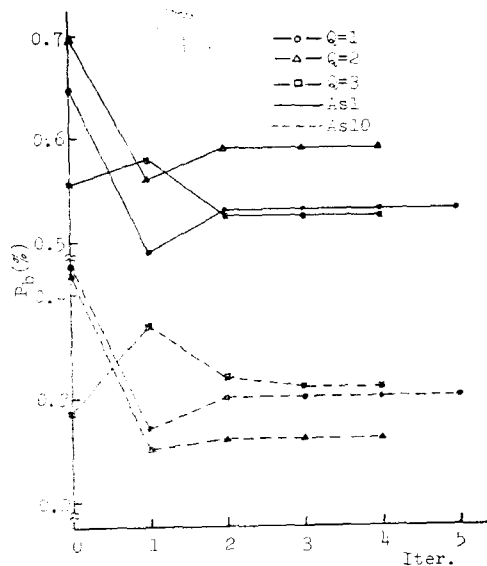


Fig. 7. Relationship between Steel ratio and Iteration ($N=4$, Case 1)

⑤ 最適化過程에서 最小經費設計에 영향을 주지 않는 制約條件를 찾은 結果 剪斷應力, 最大鐵筋比 등에 대한 制約條件은 고려하지 않아도 된다고 생각된다.

⑥ Fig. 6~7에서 보는 바와 같이 휨모멘트는 初期值에 관계없이 1回 反復試行으로 收斂되었고 鐵筋比는 대부분 2回에서 收斂되었는데 휨모멘트나 鐵筋比는 모두 有効높이의 函数로 表示되기 때문이라 고 생각된다.

⑦ Direct Method의 의하여 鐵筋콘크리트 二方向슬라브의 最適設計가 可能함을 알았다.

V. 結論

本研究에서는 많은 制約條件와 設計變數를 갖는 鐵筋콘크리트 二方向슬라브의 最適화 알고리즘을 開發하였으며 數種의 設計例에 적용하므로서 알고리즘의 收斂性, 綏便性 및 最適化傾向 등을 考察하였고 그 結果 얻어진 結論은 다음과 같다.

① 슬라브의 有効높이, 휨모멘트, 最小鐵筋比의 制約條件들이 主制約條件들이었고 그중 有効높이에 관한 것이 臨界制約條件임을 알았다.

② 本研究에서 開發한 알고리즘을 사용한 最適設計가 在來式에 比해 약 3.4~6.2% 綏便의이었다.

③ 上限, 下限值에 관계없이 대개의 경우 3~5回의 反復試行으로 最適值에 收斂했고 다만 $N=1$, case 1인 경우에 약간의 oscillation이 있었으나 진폭이 매우 적어 feasible解가 되었다.

④ 最小經費設計에 剪斷應力, 最大鐵筋比는 영향을 주지 않으므로 고려하지 않아도 된다고 생각된다.

本研究를 통하여 鐵筋콘크리트 二方向 슬라브의 最適化 可能性, 經済性을 확인하였으므로 보와 기둥이 一體로 된 슬라브 構造體에 대해서도 擴張研究하고자 한다.

參 考 文 獻

- 1) Wasiutynski, Zbigniew and Brant, Andrezj (1963) : The Present of Knowledge in the Field of Optimum Design of Structures, Applied Mechanics Reviews, Vol. 16, No.5, May, pp. 341~350.
- 2) Sheu, C.Y. and Parger, W. (1968) : Recent Development in Optimal Structural Design, Applied Mechanics Reviews, Vol. 21, No. 10, October, pp.985~992.
- 3) Schmit, Lucien A., (1971) : Structural Synthesis, 1959~1969. A Decade of Progress, Paper Presented at the U.S. Japan Seminar at Torko, the Univ. of Alabama in Huntsville, pp. 565~634.
- 4) 邊根周, 黃鶴周(1976) : 鐵筋콘크리트 뼈대構造物의 最適化를 위한 最適斷面의 決定에 관한 研究, 大韓土木學會誌, 24(3), pp. 105~116.
- 5) Sundhu, Balbir S.(1971) : Economical Design of Reinforced Concrete Slabs and Walls, Engineering Note Book, Civil Engineering, ASCE, July, pp.68~69.
- 6) Huang, Ti (1972) : Minimum Steel Design of Doubly Reinforced Section, ACT Journal, Proc. Vol.69, August, pp. 510~513.
- 7) Friel, Leroy L. (1974) : Optimum Singly Reinforced Concrete Section, ACI J. Proc. Vol. 71, No.37, November, pp.556~641.
- 8) D.J.Gunaratnam, N.S. Sivakumaran(1978) : Optimum Design of Reinforced Concrete Slabs, the Structural Engineer, Vol. 56B, No.3, September, pp.61~67.
- 9) Antoine E. Naaman (1976) : Minimum Cost Versus Minimum Weight of Prestressed Slabs, J. of St. Division, ASCE, No. ST7, July, pp. 1493~1505.
- 10) Donald E. Grierson & Ahmed A. Aly (1980) : Plastic Design Under Combined Stresses, J. of Mechanics Division, ASCE, Vol. No. EM4, August, pp. 585~607.
- 11) 趙孝男(1973) : 강뼈대 構造物의 이산形 最適設計에 관한 研究, 大韓土木學會誌, 21(3), pp. 107~120.
- 12) 趙孝男, 梁昌鉉(1980) : 플래트 플레이트 鐵筋 콘크리트 構造시스템 電算化 最適設計法, 大韓土木學會誌, 28(1), pp.115~128.
- 13) 朴文浩(1981) : 限界狀態設計法에 의한 鐵筋콘크리트 뼈대구조물의 最適化에 관한 研究, 博士學位論文, 연세대학교
- 14) 李奎遠, 邊根周, 黃鶴周(1980) : SUMT法에 의한 鋼材트러스의 最適設計에 관한 研究, 大韓土木學會誌, 28(4), pp.119~130.
- 15) 朴文浩(1984) : 限界狀態設計法에 의한 鐵筋콘크리트 플래트 슬라브型 構造體의 最適化에 관한 研究, 大韓土木學會誌, 4(1), pp. 11~26.
- 16) 金勇熙, 柳泓烈(1983) : 鐵筋콘크리트 暗渠의 最適設計에 관한 研究, 東亞大學校大學院論文集 4, pp. 423~439.
- 17) Horace Randolph Thomas, JR. (1970) : Optimum Least Cost Design of a Reinforced Concrete Portal Frames, M.S. Thesis, Department of Civil Engineering, Univ. of Raleigh, pp.1~62.